



بررسی منطقه‌بندی پیوسته و ناپیوسته گارنت در میگماتیت‌های منطقه همدان و کاربردهای سنگ‌زایی آن

سیده راضیه جعفری^۱، علی اصغر سپاهی^{*}، محسن موذن^۲، حسین شهبازی^۳

۱- گروه زمین‌شناسی، دانشکده علوم، دانشگاه پیام نور، تهران، ایران

۲- گروه زمین‌شناسی، دانشکده علوم پایه، دانشگاه بولعلی سینا همدان، همدان، ایران

۳- گروه زمین‌شناسی، دانشکده علوم طبیعی، دانشگاه تبریز، تبریز، ایران

(دریافت مقاله: ۹۶/۱۱/۹، نسخه نهایی: ۹۷/۳/۱۲)

چکیده: در منطقه همدان، سنگ‌های میگماتیتی با ساختارهای مختلف رخمنون دارند که ساخت لایه‌ای فراوانترین آنهاست. کانی‌های شاخص متاپلیت‌ها مانند گارنت (آلماندین)، استارولیت، آندالوزیت، سیلیمانیت، کیانیت، فیبرولیت، کردیریت، پلاژیوکلاز (آندرزین) و اسپینل (هرسینیت) در میگماتیت‌ها حضور دارند. گارنت در هر سه بخش روشن، تیره‌روشن و تیره میگماتیت‌ها حضور دارد و دستخوش رخدادهای مختلف دگرگونی (پیشروندہ، پسروندہ و ذوب بخشی) شده است. گارنت‌ها دارای منطقه‌بندی شیمیایی پیوسته و ناپیوسته برای عناصر شاخص Fe, Mn, Mg و Ca هستند که الگوی رفتاری این عناصر در آنها یکسان نبوده و عواملی مثل وجود کانی‌های تکبلور چندهسته‌ای، شرکت یا عدم شرکت گارنت‌ها در فرایند ذوب بخشی و چند دگرگونی منطقه در آن دخالت داشته‌اند. ناپیوستگی در رشد بلورها بیانگر رشد مجدد طی یک رخداد دگرگونی مجاز است و می‌تواند نشان دهنده دست کم دو رخداد دگرگونی باشد.

واژه‌های کلیدی: منطقه‌بندی؛ گارنت؛ ذوب بخشی؛ میگماتیت؛ همدان؛ سنندج-سیرجان.

مقدمه

از روش شبهمقاطع برای بررسی دما-فشارسنگی [۵] موثر است. منطقه‌بندی گارنت تا کنون برای طیف گستردگی از سنگ‌ها از گرانیتوئنید [۶] تا آمفیبولیت [۷] و اکلوژیت [۸-۱۰] بررسی شده است.

گارنت از فراوان‌ترین کانی‌های شاخص موجود در سنگ‌های آذرین و دگرگونی منطقه همدان است و در انواع گرانیتوئنیدها، آپلیت‌ها و پگماتیت‌ها، هورنفلس‌ها، شیست‌ها و میگماتیت‌های پژوهشگران مختلف بررسی شده‌اند، از جمله سپاهی [۱۱] سنگ‌نگاری آنها را در همه سنگ‌های آذرین و دگرگونی منطقه مورد توجه قرار داده است. گروهی نشان دادند که گارنت‌های

گارنت در گستره وسیعی از سنگ‌های آذرین، رسوبی و دگرگونی یافت می‌شود و یکی از مهمترین کانی‌های شاخص در سنگ‌های دگرگونی است. مقاوم و پایدار بودن این کانی اجازه حضور آن در طیف دمایی گستردگی می‌دهد. منطقه‌بندی بلورهای گارنت در سنگ‌های دگرگونی نتیجه عواملی چون شرایط دما-فشاری رشد بلور که تابع عمق و محیط تبلور است، شرایط انتشار [۱, ۲] و یا نشت آبگون‌ها در بلورهای گارنت پیشتر تشکیل شده [۳] است. منطقه‌بندی شیمیایی موجود در گارنت برای تعیین مسیر فشار-دما-زمان (P-T-t) سنگ و تاریخچه سنگ‌های دگرگونی [۴] و نیز جهت استفاده

*نویسنده مسئول، تلفن: ۰۸۱-۳۸۳۸۱۶۷۲، نمبر: ۳۸۳۸۱۶۰۱-۹، پست الکترونیکی: aasepahi@gmail.com

متاپلیتی، متاپسامیتی، متاپازی و سیلیکات آهکی این منطقه را تشکیل داده‌اند [۲۲]. بهترین رخنمون‌های پهنه میگماتیتی در مناطق دره سیمین ابرو (همدان) و دره عمر (تویسرکان) قابل مشاهده است (شکل ۱). آنانکسیت‌ها درجه‌های دگرگونی و ذوب‌بخشی متغیری نشان می‌دهند، به طوری که رخنمون‌های مختلفی از متاتکسیت تا دیاتکسیت در آنها دیده می‌شود. مهمترین ساختهای موجود در میگماتیت‌های منطقه شامل انواع لایه‌ای (شکل ۲ الف)، شولن (شکل ۲ ب)، انبساطی، رگه‌ای، ابرمانند، شبکه‌ای (شکل ۲ پ)، روده‌ای، و شلیرن است. از نظر پیدایش میگماتیت‌های منطقه همبافت بوده و به ترتیب اهمیت، فرآیندهای ذوب‌بخشی، جدایش دگرگونی و تزریق در میگماتیتزایی نقش داشته‌اند [۲۳]. همچنین میگماتیت‌ها در یک پهنه برشی بزرگ مقیاس (شکل ۲ ت) گستردۀ هستند [۲۴].

روش بررسی

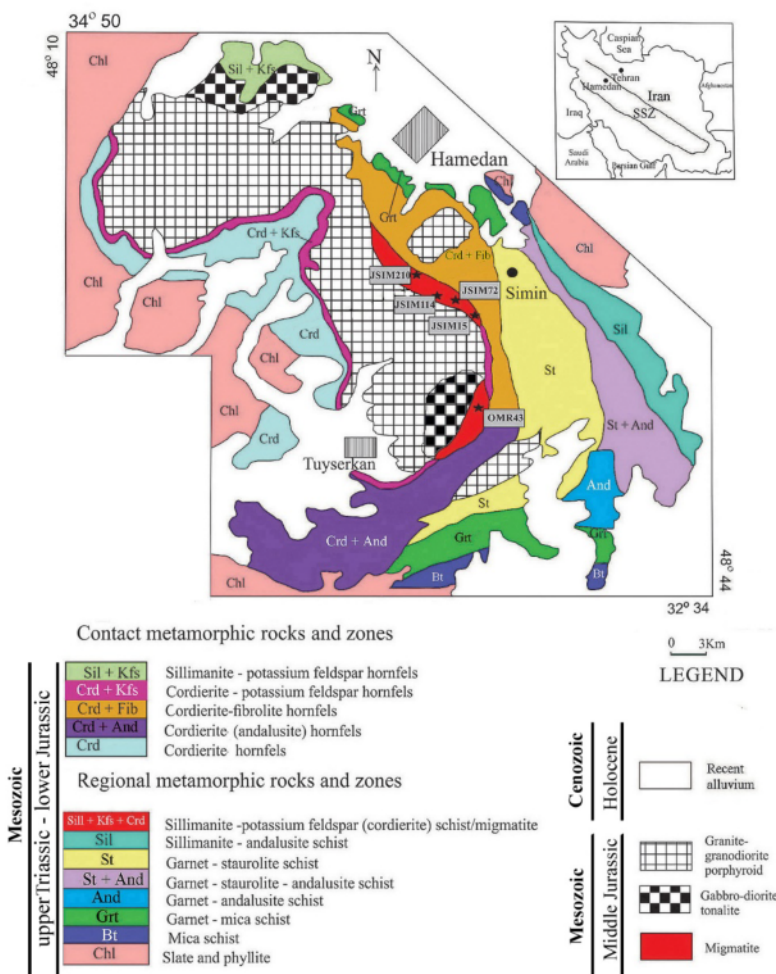
پس از بررسی‌های صحرایی، تعداد ۳۵۰ نمونه دستی برداشت، و تعداد ۱۵۰ مقطع نازک میکروسکوپی و ۴۰ مقطع نازک-صیقلی از قسمت‌های مختلف نمونه‌های میگماتیتی در کارگاه کانی‌ها و بررسی‌های دما-فشارستنجی توسط ریزپردازش الکترونی، تعداد ۵ مقطع نازک صیقلی انتخاب گردید و سرانجام ۹۹ نقطه از کانی‌های موجود در بخش تیره-روشن سنگ‌های میگماتیتی (۴۹) نقطه مربوط به کانی گارنت است) در آزمایشگاه ریزپردازش موسسه تحقیقات پیشرفته فرآوری مواد معدنی ایران با دستگاه تجزیه نقطه‌ای مدل کامکای ساخت شرکت Cameca فرانسه در شرایط ولتاژ ۱۵ kV و فشار 2×10^{-7} Torr ۲۰ nA بررسی شدند. همچنین تعداد ۲ مقطع نازک میکروسکوپی به دانشگاه مینیوستا آمریکا ارسال و نگاشتهای پرتوی X از گارنت‌های موجود در بخش تیره-روشن آنها تهیه شد.

گفتنی است که در انتخاب بلورها برای تجزیه سعی شد که از بلورهای تقریباً تمام شکل‌دار هم اندازه استفاده شود تا مقایسه منطقه‌بندی و الگوی رفتاری عناصر مختلف (از مرکز به لبه) با کمترین خطا همراه باشد.

موجود در شیستهای منطقه دارای منطقه‌بندی پیوسته هستند [۱۲]. بهاری فر [۱۳] بیان کرد که برخی از گارنت‌های منطقه همدان دچار دگرگونی برگشتی نشده و ترکیب شیمیایی زمان تشکیل خود را حفظ نموده‌اند. حسین میرزاوی و همکاران [۱۴] ترکیب شیمیایی و منطقه‌بندی گارنت‌های موجود در سنگ‌های آذرین و دگرگونی منطقه را تفکیک نموده‌اند. گروهی از پژوهشگران به شیمی گارنت‌ها در پigmاتیت‌ها و سنگ‌های دگرگونی همدان پرداخته‌اند [۱۵]. برخی ریز ساختهای موجود در میگماتیت‌ها را بررسی کرده‌اند [۱۶]. ساکی [۱۷] نیز تشکیل سیمپلکتیت‌های اسپینل-کردیریت-پلازیوکلаз را در اطراف کردیریت‌های موجود در میگماتیت‌ها بررسی نموده است.

موقعیت جغرافیایی و زمین شناسی منطقه مورد بررسی
منطقه همدان در شمال غربی پهنه ستنندج-سیرجان واقع است که برخی از پژوهشگران این پهنه را جزئی از کوهزاد زاگرس دانسته و آن را پهنه زاگرس فلس مانند نامیده‌اند (برای مثال، [۱۸]). سنگ‌های آذرین منطقه از انواع مختلف بازی (گابرو) و حدواسط (دیوریت) تا اسیدی (انواع گرانیت‌وئیدها) تغییر می‌کند. مهمترین پدیده آذرین منطقه توده آذرین نفوذی الوند است که در چندین مرحله از تزریق انواع مختلف ماگماهای بازی تا اسیدی تشکیل شده است [۱۱]. گروهی از پژوهشگران سن سنگ‌های آذرین نفوذی الوند را برای گابروها 166.5 ± 1.8 میلیون سال، برای گرانیت‌ها 163.9 ± 0.9 و 161.7 ± 0.6 میلیون سال و برای لوکوگرانیت‌ها 153.3 ± 2.7 و 154.4 ± 1.3 میلیون سال بدست آورده‌اند [۱۹]. برخی نیز سن گرانیت‌های الوند را 165 میلیون سال برآورد کرده‌اند [۲۰، ۲۱].

سنگ‌های دگرگونی منطقه شامل سنگ‌های دگرگونی‌های ناحیه‌ای (مانند اسلیت، فیلیت، میکا شیست، گارنت میکا شیست، گارنت آندالوزیت شیست، گارنت استارولیت شیست، گارنت سیلیمانیت شیست و آمفیبیولیت)، سنگ‌های دگرگونی مجاورتی (انواع هورنفلس‌ها مثل گارنت هورنفلس، کردیریت هورنفلس و فیبرولیت گارنت هورنفلس) و میگماتیت هستند. رخدادهای دگرگونی مختلف در زمان‌های متفاوت سنگ‌های



شکل ۱ نقشه ساده شده منطقه همدان و جایگاه رخمنون سنگ‌های میگماتیتی در مناطق سیمین و دره عمر تویسرکان. راهنمای سنی سنگ‌ها از مرجع [۴۵] و علامت اختصاری کانی‌ها در این شکل و شکل‌های دیگر از مرجع [۴۴] برگرفته شده است.

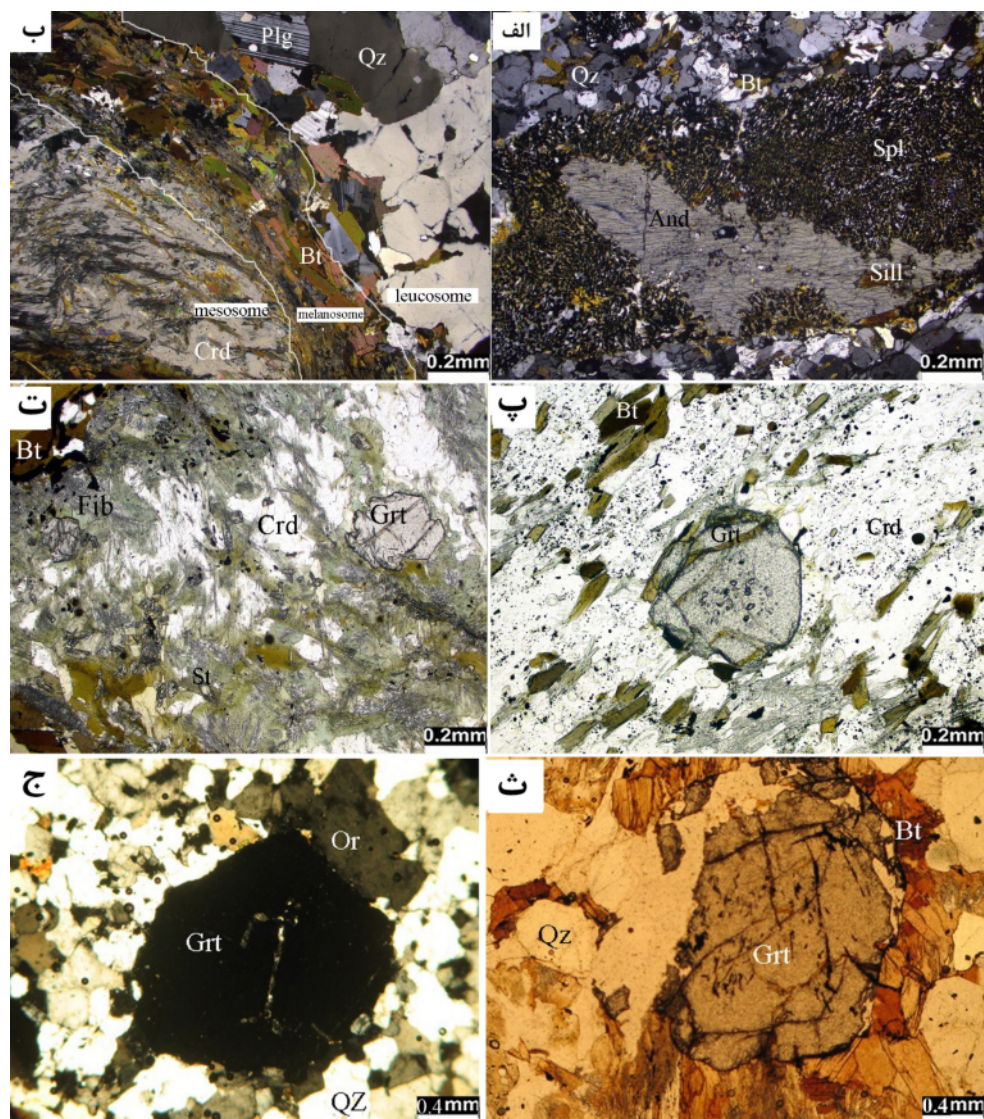


شکل ۲ الف- ساخت لایه‌ای، ب- ساخت شولن، ت- شواهد گسترش پهنه برشی در میگماتیت‌های منطقه.

در قسمت تیره-روشن میگماتیت‌های آلومینوسیلیکات‌دار، کانی‌های اصلی شامل انواع آلومینوسیلیکات‌ها (آنالوژیت، سیلیمانیت، کیانیت و فیبرولیت)، گارنت، استارولیت، کوارتز، پلازیوکلаз و بیوتیت هستند. کانی‌های فرعی شامل اسپینل، زیرکن و آپاتیت و کانی‌های ثانویه شامل مسکویت، کلریت هستند. گاه کردیریت نیز در این نوع میگماتیت‌ها دیده می‌شود. بالاترین درجات ذوب‌بخشی در میگماتیت‌های سیلیمانیت‌دار رخ داده است.

سنگنگاری سنگ‌های میگماتیتی

با توجه به فراوانی کانی‌های آلومینوسیلیکات و کردیریت در میگماتیت‌های همدان، می‌توان آنها را از نظر سنگنگاری به دو نوع میگماتیت‌های غنی از آلومینوسیلیکات (شکل ۳ الف) و میگماتیت‌های غنی از کردیریت (شکل ۳ ب) تقسیم کرد. روابط صحرایی این دو نوع میگماتیت چنان است که می‌توان آنها را بصورت مجزا از هم مشاهده نمود. میگماتیت‌های کردیریت‌دار گاه بصورت میان لایه‌های کم ضخامت در مجاورت میگماتیت‌های آلومینوسیلیکات‌دار نیز دیده می‌شوند.



شکل ۳ تصویر میکروسکوپی از الف- میگماتیت‌های آلومینوسیلیکات‌دار، ب- میگماتیت‌های کردیریت‌دار که هر سه بخش تیره-روشن و مجموع تیره روشن در آن دیده می‌شوند، پ- گارنت موجود در بخش تیره-روشن که در مرکز آن میانبار کوارتز و بیوتیت وجود دارد و خود به صورت میانبار داخل کردیریت قرار گرفته است. ت- گارنت موجود در بخش تیره-روشن که درون کردیریت قرار گرفته است. ث- گارنت موجود در بخش تیره و ج- گارنت موجود در بخش روشن.

بریده بریده است و پیوستگی بخش‌های روشن را ندارد. در برخی موارد گارنت و استارولیت بصورت شکننده بلور، پلاژیوکلاز و کمی کوارتز هم در بخش‌های تیره حضور دارند.

با توجه به مجموعه‌های کانی شناسی موجود، میگماتیت‌ها در رخساره آمفیبولیت بالایی (کوارتز+ بیوتیت+ گارنت+ آلومینوسیلیکات+ استارولیت) و رخساره گرانولیت پایینی (کوارتز+ گارنت+ کردیریت+ ارتوکلаз \pm بیوتیت) دگرگون شده‌اند.

گارنت‌های درون میگماتیت‌های منطقه هم در میگماتیت‌های غنی از آلومینوسیلیکات و هم در میگماتیت‌های غنی از کردیریت حضور دارند. آنها بیشتر در بخش تیره-روشن متمرکزند اما گاه در بخش تیره نیز دیده می‌شوند و به مقدار موجود در بخش تیره-روشن در نمونه دستی کدر هستند، ابعاد آنها بسیار متغیر است و تا ۱۰ میلی‌متر می‌رسد. در ابعاد میکروسکوپی بیشتر نیمه شکل‌دار تا بی‌شکل هستند و گاه به وفور میانبار کوارتز و بیوتیت دارند که معمولاً در مرکز بلور تجمع دارند (شکل ۳ پ). گارنت گاه خود به صورت میانبار در کانی‌هایی چون آندالوزیت یا کردیریت (شکل ۳ ت) قرار گرفته است. گارنت‌های درون بخش تیره در نمونه دستی نیمه شفاف تا کدر هستند و ابعاد آنها از ۴-۵ میلی‌متر تجاوز نمی‌کند. آنها در ابعاد میکروسکوپی بیشتر بی‌شکل هستند و ممکن است میانبارهایی از بیوتیت داشته باشند. در بیشتر موارد سطوح بلوری آنها کامل نیست و بلور از یک طرف دچار خوردگی شده که با توجه به تماس دانه (با قسمت‌های تیره-روشن و روشن) در این قسمت‌ها احتمالاً در واکنش‌های ذوب شرکت کرده است (شکل ۳ ث). گارنت‌های درون بخش روشن در نمونه دستی ریزتر بوده، ابعاد آنها در حد ۱-۳ میلی‌متر است و در نمونه دستی کاملاً شفاف و کمنگ هستند. آنها در ابعاد میکروسکوپی شکل‌دار تا نیمه شکل‌دار و بیشتر بدون میانبار هستند (شکل ۳ ج).

شیمی گارنت

براساس تجزیه نقطه‌ای انجام شده بر گارنت‌های تیره-روشن میگماتیت‌های منطقه (جدول ۱) و تصویر کردن ترکیب آنها بر نمودار تقسیم‌بندی گارنت‌ها [۲۵] تجمع ترکیب آنها بیشتر در قطب آلماندین متمرکز است (شکل ۴) اما از پیروپ، اسپارتن و گراسولار نیز بی بره نیستند. با توجه به نتایج،

در قسمت تیره-روشن میگماتیت‌های کردیریت‌دار، به ترتیب فراوانی، کردیریت، گارنت، استارولیت، انواع میکاها (بیوتیت و مسکویت)، اسپینل، کوارتز، پلاژیوکلاز، زیرکن و تورمالین حضور دارند. مقدار بیوتیت در میگماتیت‌های کردیریت‌دار معمولاً کمتر از انواع آلومینوسیلیکات‌دار است. آندالوزیت نیز گاه در این سنگ‌ها دیده می‌شود.

شکل ظهور بخش روشن در انواع مختلف میگماتیت و ساختهای گوناگون آن بسیار متغیر است و از شکل لایه‌ای در میگماتیت لایه‌ای تا شکل ابر مانند در میگماتیت‌های آلومینوسیلیکات-تغییر می‌کند. بخش روشن در میگماتیت‌های آلومینوسیلیکات-دار دارای ضخامت متغیر بوده، از نظر ترکیب مodal از نوع ترونجمیتی، گرانوودیوریتی و فلدسپات قلیادار (ارتوكلاز) است. در انواع کردیریت‌دار بخش روشن، ترکیب مodal فلدسپات قلیادار (ارتوكلاز) دارد و گاه انواع گرانوودیوریتی نیز در آنها دیده می‌شود. در انواع بخش‌های روشن منطقه گاهی کانی‌های بیوتیت، گارنت و زیرکن نیز دیده می‌شود. ابعاد دانه‌های روشن بسیار متغیر است که در ادامه توضیح داده می‌شود.

سایر [۲۶] بخش‌های روشن میگماتیت‌ها را به سه دسته تقسیم کرده است: نوع اول بخش‌های روشن بر جا در محل ذوب بخشی هستند که فراورده تبلور یک مذاب پاره گدازشی بوده که پس از رخداد ذوب بخشی از آن جدا شده، اما در محل ذوب شده باقی مانده است. این بخش‌های روشن با بخش‌های تیره نسبتاً ضخیمی همراه‌اند. نوع دوم برآمده از تبلور یک مذاب پاره گدازشی بوده که پس از ذوب بخشی از محل رخداد آن مهاجرت کرده است، اما همچنان در ناحیه لایه منبع آن قرار دارد. این بخش‌های روشن ممکن است بخش‌های تیره داشته یا نداشته باشند. نوع سوم رگه‌های روشن هستند که فراورده تبلور یک مذاب پاره گدازشی بوده که از لایه منبع آن مهاجرت کرده و به بخش دیگری از میگماتیت که ممکن است در نزدیکی یا دورتر از آن باشد، نفوذ کرده است. این میگماتیت‌ها بخش تیره نداشته و نمونه‌های آنها در کمریند لیمپاپو وجود دارد. با توجه به اینکه بخش تیره در بیشتر میگماتیت‌های منطقه حضور ندارد یا ضخامت آن بسیار ناچیز است، می‌توان گفت که بخش روشن میگماتیت‌های منطقه نسبت به سنگ خاستگاه بر جا نبوده و به سایر بخش‌های میگماتیت مهاجرت داشته است.

بخش تیره در سنگ‌های میگماتیتی منطقه یا حضور ندارد و یا ضخامت بسیار ناچیزی دارد؛ در بیشتر موارد نیز بسیار

درجه دگرگونی، مقدار آلماندین و پیروپ در گارنت افزایش و مقدار اسپسارتین کاهش می‌یابد [۲۷, ۲۶]. مقدار $\#_{\text{Garnet}}$ گارنت-ها ۰,۸۱ تا ۰,۸۹ تغییر می‌کند.

آلمندین (۶۹-۸۰ درصد)، پیروپ (۸-۱۷ درصد)، اسپسارتین (۶-۱۶ درصد) و گراسولار، آندرادیت و یواروویت در کل (۰,۸-۲,۴ درصد) ترکیب گارنت‌ها را تشکیل می‌دهند. با افزایش

جدول ۱ نتایج تجزیه ریزپردازشی گارنت‌های منطقه که هر نمونه شامل هفت نقطه تجزیه از مرکز به لبه است. نمونه ۱۲ jsim 12-2 مربوط به فیبرولیت گارنت کردیریت میگماتیت و نمونه Rj22 مربوط به استارولیت گارنت میگماتیت است.

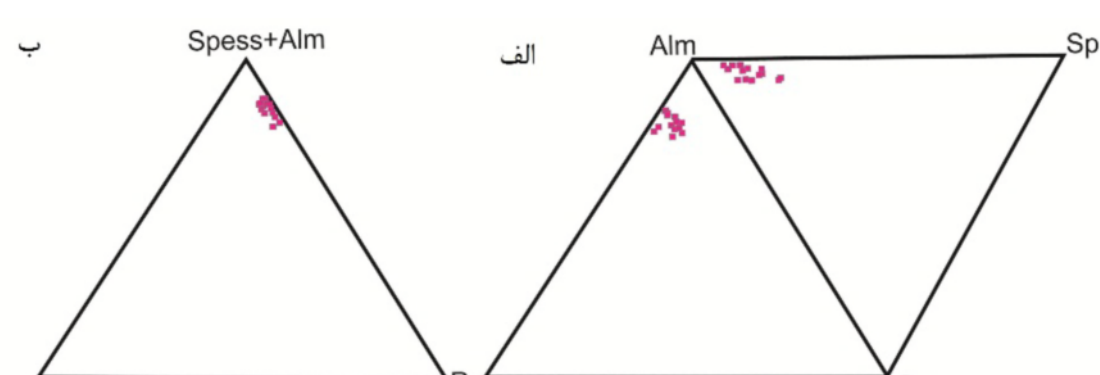
jsim12-2-Grt 51-56								jsim12-2-Grt58-64								jsim12-2-Grt 67-73								Rj22-Grt32-38							
Core to Rim								Core to Rim								Core to Rim								Core to Rim							
Point	۱	۲	۳	۴	۵	۶		۱	۲	۳	۴	۵	۶	۷		۱	۲	۳	۴	۵	۶	۷		۱	۲	۳	۴	۵	۶	۷	
SiO ₂	۲۷,۹	۲۲,۲۸	۲۷,۴۱	۲۷,۸۵	۲۷,۷۷	۲۷,۲۲	۲۶,۷۵	۲۶,۷۷	۲۷,۷۷	۲۷,۷۷	۲۷,۷	۲۷,۷۴	۲۷,۷۴	۲۷	۲۷,۷	۲۷,۷	۲۷,۷	۲۷,۷	۲۷,۷	۲۷,۷	۲۷,۷	۲۸,۱	۲۷,۷۷	۲۷,۷	۲۷,۷	۲۷,۷	۲۷,۷	۲۷,۷	۲۷,۷		
TiO ₂	-	۰,۱۰	-	۰,۰۱	-	۰,۰۱	۰,۰۴	-	۰,۰۸	-	۰,۰۲	-	۰,۰۳	-	-	-	-	۰,۰۳	-	۰,۰۲	۰,۰۱	-	۰,۰۱	-	۰,۰۳	-	۰,۰۱	-	۰,۰۱		
Al ₂ O ₃	۲۲,۲	۲۷,۵۸	۲۱,۷	۲۲	۲۱,۹۱	۲۱,۶۳	۲۲,۱۹	۲۳,۰	۲۱,۹۳	۲۲,۱	۲۱,۹۵	۲۲,۴۳	۲۲,۲۴	۲۱,۹۸	۲۲	۲۲,۸۳	۲۲,۲۱	۲۲,۲۲	۲۱,۹	۲۱,۷۸	۲۰,۰۲	۲۱,۵	۲۱,۲۶	۲۱,۰۳	۲۱,۴۱	۲۱,۶۲	۲۱,۰۳				
FeO	۲۲,۵۸	۲۳,۱۵	۲۳,۳۹	۲۱,۳۲	۲۱,۷۴	۲۲,۵۵	۲۳,۵۹	۲۳,۴	۲۲,۴۲	۲۶,۴۲	۲۴,۰	۲۳,۵۷	۲۳,۷۴	۲۲,۱	۲۱,۳۹	۲۱,۰	۲۲,۴۶	۲۱,۹۹	۲۲,۶۹	۲۲,۶۷	۲۲,۱۱	۲۲,۴۲	۲۲,۲	۲۱,۶۸	۲۱,۹۹	۲۲,۴۶	۲۱,۰				
MnO	۲,۷۲	۲۹	۲,۸۶	۴,۱	۲,۹۶	۲,۷۸	۲۹	۳,۸۱	۲,۷۷	۲,۱۳	۲,۲۹	۲,۰۵	۲,۲۹	۴,۲	۴,۲۷	۴,۲۶	۳,۲۳	۴,۱۹	۳,۴	۴,۶۹	۲,۵۱	۲,۱۷	۴,۵۵	۶,۲۳	۶,۱	۵,۹۷	۵,۴۱				
MgO	۴,۲۲	۳,۹۱	۲,۷۸	۳,۸	۲,۸۲	۲,۹۲	۲,۲۷	۲,۲۱	۲,۲۳	۲,۰	۲,۶	۲,۲۴	۲,۲۴	۴,۲۳	۴,۰۷	۴,۰۶	۴,۷۸	۴,۲۱	۴,۵۷	۳,۶۱	۳,۵۴	۲,۶۴	۲,۴۲	۲,۴۵	۲,۵	۲,۵	۲,۵				
CaO	۰,۶۶	۰,۶۵	۰,۸۵	۱,۳۶	۱,۳۴	۰,۸۴	۰,۵۸	۰,۵	۰,۵۹	۰,۵۷	۰,۵۹	۰,۶۳	۰,۵۵	۰,۷۴	۱,۲۱	۱,۲۸	۰,۷۷	۰,۷۵	۰,۶۸	۰,۶۴	۱,۹۵	۲,۸۱	۲,۵۵	۱,۴۹	۱,۴۵	۱,۱۹	۱,۱۹	۱,۱۹			
Na ₂ O	۰,۰۶	-	۰,۱۸	-	۰,۰۵	-	۰,۰۱	-	۰,۰۳	-	۰,۰۲	-	-	-	۰,۰۱	-	-	۰,۰۶	-	۰,۰۵	۰,۰۷	۰,۰۲	-	۰,۰۸	-	۰,۰۵	-	۰,۰۵			
K ₂ O	۰,۰۱	۰,۰۱	۰,۰۱	-	-	-	-	-	-	-	-	-	-	-	-	-	-	-	-	-	-	-	-	-	-	-	-				
Cr ₂ O ₃	-	-	-	-	-	-	-	-	-	-	-	-	-	-	-	-	-	-	-	-	-	-	-	-	-	-	-	-			
Totals	۹۹,۰۵	۱۰,۰۴۶	۱۰,۰۴۱	۱۰,۰۴۴	۱۰,۰۴	۱۰,۰۴۳	۱۰,۰۳۳	۱۰,۰۳۷	۱۰,۰۳۱	۱۰,۰۳	۱۰,۰۷۲	۱۰,۰۷۴	۱۰,۰۴۲	۱۰,۰۶۷	۱۰,۰۶۸	۱۰,۰۸۸	۱۰,۰۸۲	۱۰,۰۷	۱۰,۰۷۷	۱۰,۰۷۷	۱۰,۰۷۳	۱۰,۰۷	۱۰,۰۷۱	۱۰,۰۷۸	۱۰,۰۷۸	۱۰,۰۷۸	۱۰,۰۷۸				

مقادیر کاتیون‌ها بر اساس ۱۲ اکسیجن

Si	۲,۲۰	۲,۵۸۲	۲,۹۸۸	۳,۰۰	۲,۹۷۸	۲,۹۸۵	۲,۹۴۶	۲,۹۲	۲,۹۹۷	۲,۹۸۷	۲,۹۶۸	۲,۹۵۲	۲,۹۴۸	۲,۹۸	۲,۹۸	۲,۹۵۰	۲,۹۴۵	۲,۹۷	۲,۹۰۵	۲,۹۰	۲,۹۷	۲,۹۰۹	۲,۹۸۷	۲,۹۰۶	۲,۹۸۲	۲,۹۰۶	
Ti	-	۰,۰۱	-	۰,۰۰	-	۰,۰۰۱	-	۰,۰۰۰	-	۰,۰۰۲	-	۰,۰۰۵	-	۰,۰۰۱	-	۰,۰۰۲	-	۰,۰۰۰	-	۰,۰۰۲	-	۰,۰۰۰	-	۰,۰۰۱	-	۰,۰۰۱	
Al	۲,۰۸۷	۲,۷۰	۲,۱۰۶	۲,۰۵	۲,۰۵	۲,۰۳۹	۲,۰۹۷	۲,۱۷۷	۲,۰۵۸	۲,۰۵۸	۲,۰۷۷	۲,۰۶۷	۲,۱۱۰	۲,۰۸۹	۲,۰۵	۲,۰۹	۲,۰۸	۲,۰۸	۲,۰۸	۲,۰۸	۲,۰۸	۲,۰۸	۲,۰۸	۲,۰۸	۲,۰۸	۲,۰۸	۲,۰۸
Fe ²⁺	۲,۲۱۳	۲,۲۱۷	۲,۲۲۱	۲,۰۷۶	۲,۱۱۶	۲,۱۷۷	۲,۲۵	۲,۲۳۱	۲,۲۲۱	۲,۲۹۵	۲,۲۷	۲,۲۴	۲,۲۴۸	۲,۱۲۱	۲,۰۷۸	۲,۰۵۴	۲,۱۰	۲,۱۲۶	۲,۱۶۵	۲,۱۷۶	۲,۱۴۰	۲,۱۵۴	۲,۱۲۲	۲,۱۳	۲,۱۷۱		
Mn	-۰,۱۸۷	-۰,۱۹۶	-۰,۱۳۴	-۰,۲۷۵	-۰,۲۶۷	-۰,۲۵	-۰,۲۶۵	-۰,۲۵۸	-۰,۲۵	-۰,۲۱	-۰,۲۲	-۰,۲۴	-۰,۲۲۹	-۰,۲۸	-۰,۲۸	-۰,۲۹۲	-۰,۲۲۳	-۰,۲۸۲	-۰,۲۱۶	-۰,۱۶۹	-۰,۲۱۳	-۰,۳۰۸	-۰,۴۱۴	-۰,۴۰۵	-۰,۳۶۶		
Mg	-۰,۵۱	-۰,۴۶	-۰,۸۰	-۰,۴۹	-۰,۴۵	-۰,۴۶	-۰,۳۹	-۰,۲۸	-۰,۲۸	-۰,۲۸	-۰,۲۸	-۰,۲۸	-۰,۲۸	-۰,۲۸	-۰,۴۷۸	-۰,۵۴	-۰,۵۱	-۰,۴۵	-۰,۴۲	-۰,۴۲	-۰,۴۲	-۰,۴۲	-۰,۴۲	-۰,۴۹	-۰,۴۹		
Ca	-۰,۰۷	-۰,۰۶	-۰,۰۷۷	-۰,۱۱۶	-۰,۱۱۷	-۰,۰۷۷	-۰,۰۵	-۰,۰۴۵	-۰,۰۵	-۰,۰۴۹	-۰,۰۵	-۰,۰۴	-۰,۰۴۷	-۰,۰۴۳	-۰,۱۱۱	-۰,۱۱۷	-۰,۰۶۲	-۰,۰۶۴	-۰,۰۵	-۰,۱۶۷	-۰,۰۳۹	-۰,۱۱۸	-۰,۱۲۴	-۰,۱۲			
Na	-۰,۰۹	-۰,۰۰	-۰,۰۲۸	-۰,۰۰	-۰,۰۰	-۰,۰۰۲	-۰,۰۰۵	-۰,۰۰۵	-۰,۰۰۳	-۰,۰۰۰	-۰,۰۰۰	-۰,۰۰۰	-۰,۰۰۰	-۰,۰۰۰	-۰,۰۰۰	-۰,۰۰۰	-۰,۰۰۰	-۰,۰۰۰	-۰,۰۰۰	-۰,۰۰۰	-۰,۰۰۰	-۰,۰۰۰	-۰,۰۰۰	-۰,۰۰۰			
K	-۰,۰۱	-۰,۰۱	-۰,۰۱	-۰,۰۰	-۰,۰۰	-۰,۰۰	-۰,۰۰	-۰,۰۰	-۰,۰۰	-۰,۰۰	-۰,۰۰	-۰,۰۰	-۰,۰۰	-۰,۰۰	-۰,۰۰۰	-۰,۰۰۰	-۰,۰۰۰	-۰,۰۰۰	-۰,۰۰۰	-۰,۰۰۰	-۰,۰۰۰	-۰,۰۰۰	-۰,۰۰۰	-۰,۰۰۰			
Cr	-۰,۰۰۱	-۰,۰۰۰	-۰,۰۰۰	-۰,۰۰۰	-۰,۰۰۱	-۰,۰۰۰	-۰,۰۰۰	-۰,۰۰۰	-۰,۰۰۰	-۰,۰۰۰	-۰,۰۰۰	-۰,۰۰۰	-۰,۰۰۰	-۰,۰۰۰	-۰,۰۰۰	-۰,۰۰۰	-۰,۰۰۰	-۰,۰۰۰	-۰,۰۰۰	-۰,۰۰۰	-۰,۰۰۰	-۰,۰۰۰	-۰,۰۰۰	-۰,۰۰۰			
Totals	۸,۲۶۳	۸,۱۱۸	۸,۰۰۳	۷,۹۷۷	۷,۹۶	۷,۹۷۵	۸,۰۰۴	۸,۰۰۷	۷,۹۷۳	۷,۹۸۱	۸,۰۰۱	۷,۹۹۳	۷,۹۹۲	۸,۰۰۴	۷,۹۸۸	۷,۹۹۵	۸,۰۰۱	۸,۰۰۱	۸,۰۰۰	۸,۰۰۰	۸,۰۰۰	۸,۰۰۰	۸,۰۰۰	۸,۰۰۰	۸,۰۰۰		
Almandine	-۰,۷۴۵	-۰,۷۵۵	-۰,۷۵۹	-۰,۷۱۲	-۰,۷۱۷	-۰,۷۲۳	-۰,۷۶۱	-۰,۷۶۵	-۰,۷۶۲	-۰,۷۷۷	-۰,۷۶۴	-۰,۷۶۴	-۰,۷۶۵	-۰,۷۱۶	-۰,۷۰۷	-۰,۶۹۸	-۰,۷۱۷	-۰,۷۱۳	-۰,۷۲۴	-۰,۷۲۹	-۰,۷۲۸	-۰,۷۲۶	-۰,۷۱۴	-۰,۷۲۲	-۰,۷۳۹		
Pyrope	-۰,۱۷۲	-۰,۱۵۹	-۰,۱۳۷	-۰,۱۵۴	-۰,۱۵۴	-۰,۱۵۲	-۰,۱۳۲	-۰,۱۳۱	-۰,۱۳۵	-۰,۱۲۴	-۰,۱۴۳	-۰,۱۳۶	-۰,۱۴۱	-۰,۱۶۸	-۰,۱۶۳	-۰,۱۶۳	-۰,۱۶۸	-۰,۱۷۱	-۰,۱۷۴	-۰,۱۷۲	-۰,۱۷۱	-۰,۱۷۱	-۰,۱۷۱	-۰,۱۷۱			
Spessartine	-۰,۰۸۳	-۰,۰۸۷	-۰,۰۸	-۰,۰۹۴	-۰,۰۹۱	-۰,۰۸۵	-۰,۰۹۰	-۰,۰۸۹	-۰,۰۸	-۰,۰۷۷	-۰,۰۷۵	-۰,۰۸۲	-۰,۰۸۰	-۰,۰۹۵	-۰,۰۹۷	-۰,۰۹۹	-۰,۰۷۴	-۰,۰۹۵	-۰,۰۷۶	-۰,۰۷۶	-۰,۰۷۶	-۰,۰۷۶	-۰,۰۷۶	-۰,۰۷۶			
Grossular	-۰,۰۱۹	-۰,۰۱۹	-۰,۰۲۵	-۰,۰۴۰	-۰,۰۳۹	-۰,۰۲۴	-۰,۰۱۷	-۰,۰۱۶	-۰,۰۱۷	-۰,۰۱۷	-۰,۰۱۷	-۰,۰۱۸	-۰,۰۱۶	-۰,۰۲۱	-۰,۰۲۸	-۰,۰۲۰	-۰,۰۲۱	-۰,۰۱۹	-۰,۰۱۸	-۰,۰۱۸	-۰,۰۱۷	-۰,۰۱۷	-۰,۰۱۷	-۰,۰۱۷			
Fe / (Fe + Mg)	-۰,۰۱۲	-۰,۰۱۴	-۰,																								

ادامه جدول ۱

Jsim12-2 Grt 75-81								Rj-22Grt 6-12								Rj22-Grt23-29							
Core to Rim								Core to Rim								Core to Rim							
Point	۱	۲	۳	۴	۵	۶	۷	۱	۲	۳	۴	۵	۶	۷	۱	۲	۳	۴	۵	۶	۷		
SiO ₂	۲۷/۲	۳۷/۲۶	۳۷/۱۸	۳۷/۲۲	۳۷/۲۵	۳۷/۶۹	۳۷/۳۵	۳۶/۸۹	۳۷/۷۷	۳۷/۶۹	۳۷/۴۵	۳۷/۱۴	۳۷/۵۲	۳۷/۲۶	۳۶/۸۷	۳۷/۲۴	۳۲/۳۷	۳۷/۵	۳۷/۲۷	۳۶/۸۴			
TiO ₂	۰/۰۷	۰	۰/۰۱	۰/۰۱	۰/۰۳	۰	۰/۰۳	۰/۰۳	۰/۰۴	۰/۰۷	۰/۰۳	۰/۰۱	۰/۰۲	۰/۰۱	۰	۰/۰۳	۰/۰۲	۵۴۸	۰/۰۴	۰/۰۴	۰/۰۲		
Al ₂ O ₃	۲۱/۴۸	۲۱/۷۵	۲۱/۶۲	۲۱/۱۹	۲۱/۹۲	۲۱/۵۸	۲۲/۲۱	۲۱/۲۹	۲۱/۸۱	۲۱/۷۶	۲۱/۴۷	۲۱/۷۷	۲۱/۸	۲۱/۸۶	۲۱/۴۱	۲۱/۱۵	۱۹/۲۸	۲۱/۴	۲۱/۵۳	۲۱/۵۸			
FeO	۳۳/۸۴	۳۳/۲۸	۳۳/۹۵	۳۴/۹۹	۳۳/۸	۳۴/۲۸	۳۵/۰۷	۳۳/۷۷	۳۲/۷۶	۳۱/۱۷	۳۲/۲۴	۳۲/۵۵	۳۲/۵	۳۰/۹۱	۳۰/۲۵	۳۰/۵۵	۳۲/۹۱	۳۳/۰۶	۳۳/۷۲	۳۳/۴۹			
MnO	۴۶	۴۳	۳/۹۸	۳	۳/۴۶	۳/۲۶	۲/۵۱	۲/۵۷	۲/۴	۳/۱۳	۵/۹۶	۴/۷۵	۴/۷۲	۴/۹۳	۷/۰۷	۷/۲۴	۷/۱۷	۵/۴۷	۳/۴۸	۲/۵	۲/۶۷		
MgO	۲/۷۳	۳/۰۷	۳/۴۶	۳/۴۶	۲/۳۵	۳/۵۲	۳/۲۱	۲/۶	۳/۰۳	۲/۵۶	۲/۷۵	۲/۶۹	۳/۱۹	۲/۸۱	۲/۱۴	۱/۹۵	۲/۲۴	۲/۷	۲/۵۶	۲/۹۳	۲/۴۱		
CaO	۰/۲۹	۰/۷۶	۰/۴۴	۰/۳۲	۰/۴۸	۰/۳۶	۰/۳۱	۱/۹۹	۲/۸۱	۲/۸۴	۱/۲۲	۱/۲۶	۱/۱۹	۱/۲۴	۱/۹۵	۲/۶۴	۲/۲۶	۲/۲۳	۲/۷۶	۲/۷۱	۱/۹۴		
Na ₂ O	۰/۰۳	۰	۰/۰۵	۰	۰/۱۲	۰	۰/۰۱	۰	۰	۰	۰	۰	۰	۰	۰/۰۱	۰	۰/۰۷	۰	۰/۰۳	۰/۰۲			
K ₂ O	۰/۰۱	۰/۲۱	۰/۰۱	۰/۰۱	۰/۰۹	۰	۰/۰۸	۰/۰۲	۰/۰۱	۰	۰	۰/۰۱	۰	۰/۰۱	۰	۰	۰/۰۱	۰/۰۱	۰/۰۷				
Cr ₂ O ₃	۰/۰۱	۰	۰	۰	۰/۰۱	۰	۰/۰۱	۰/۰۴	۰/۰۴	۰/۰۳	۰/۰۳	۰/۰۱	۰/۰۲	۰/۰۲	۰/۰۳	۰/۰۳	۰/۰۲	۰/۰۲	۰/۰۲	۰/۰۳			
Totals	۱۰۰/۲۶	۱۰۰/۶۳	۱۰۰/۷	۱۰۰/۳	۱۰۰/۵۱	۱۰۰/۶۹	۱۰۰/۷۹	۹۹/۲	۱۰۰/۹۳	۱۰۰/۸۲	۱۰۰/۲۲	۱۰۰/۱۸	۱۰۰/۸۹	۱۰۰/۷۸	۱۰۰/۴۳	۱۰۰/۶۳	۱۰۰/۹	۱۰۰/۸۳	۱۰۰/۷۶	۹۹/۰/۷			
مقدار کاتیون‌ها بر اساس آسکیزین																							
Si	۲,۹۹۴	۲,۹۸۱	۲,۹۷۳	۲,۹۹۷	۲,۹۷۶	۳,۰۰۳	۲,۹۷۵	۲,۹۹۲	۲,۹۹۱	۲,۹۹۶	۲,۰۱۶	۲,۰۰۱	۲,۹۶۹	۲,۹۹۰	۲,۹۹۲	۲,۹۷۲	۲,۹۹۳	۲,۷۲۸	۲,۹۹۴	۲,۹۷۵	۲,۹۸۹		
Ti	۰/۰۰۴	۰/۰۰۰	۰/۰۰۱	۰/۰۰۱	۰/۰۰۲	۰/۰۰۰	۰/۰۰۰	۰/۰۰۰	۰/۰۰۰	۰/۰۰۰	۰/۰۰۰	۰/۰۰۱	۰/۰۰۱	۰/۰۰۰	۰/۰۰۰	۰/۰۰۰	۰/۰۰۱	۰/۰۳۷	۰/۰۰۲	۰/۰۰۰	۰/۰۰۱		
Al	۲/۰۳۸	۲/۰۵۱	۲/۰۳۸	۲/۰۰۶	۲/۰۶۴	۲/۰۲۷	۲/۰۸۵	۲/۰۳۵	۲/۰۳۸	۲/۰۴۰	۲/۰۲۵	۲/۰۵۶	۲/۰۵۴	۲/۰۲۵	۲/۰۳۴	۲/۰۰۴	۱/۸۵۸	۲/۰۱۴	۲/۰۲۶	۲/۰۴۶			
Fe ⁺²	۲/۲۷۸	۲/۲۲۷	۲/۲۷۱	۲/۳۵۰	۲/۲۵۹	۲/۲۸۴	۲/۲۳۶	۲/۲۹۱	۲/۱۹۳	۲/۱۷۹	۲/۱۸۶	۲/۱۶۰	۲/۱۷۶	۲/۱۶۶	۲/۰۷۵	۲/۰۴۰	۲/۰۵۴	۲/۲۵۰	۲/۲۰۸	۲/۲۵۱	۲/۲۷۲		
Mn	۰/۳۱۴	۰/۲۹۱	۰/۲۷۸	۰/۲۰۴	۰/۲۳۴	۰/۲۲۰	۰/۱۶۹	۰/۱۷۷	۰/۱۶۱	۰/۲۱۱	۰/۴۰۴	۰/۳۲۲	۰/۳۳۳	۰/۴۸۱	۰/۴۹۴	۰/۴۸۸	۰/۳۷۹	۰/۲۳۵	۰/۱۶۹	۰/۱۸۳			
Mg	۰/۳۲۸	۰/۳۶۶	۰/۴۱۰	۰/۴۱۴	۰/۳۹۹	۰/۴۱۸	۰/۲۸۱	۰/۳۱۴	۰/۳۵۸	۰/۳۰۴	۰/۲۲۸	۰/۲۲۱	۰/۲۸۰	۰/۲۳۴	۰/۲۶۸	۰/۲۵۲	۰/۳۰۵	۰/۳۴۹	۰/۲۹۱				
Ca	۰/۰۲۵	۰/۰۶۵	۰/۰۳۸	۰/۰۲۸	۰/۰۴۱	۰/۰۳۱	۰/۰۲۶	۰/۱۷۳	۰/۲۳۹	۰/۲۴۲	۰/۱۰۵	۰/۱۰۸	۰/۱۰۲	۰/۱۶۸	۰/۲۲۸	۰/۱۹۵	۰/۲۴۶	۰/۲۲۲	۰/۱۸۹				
Na	۰/۰۰۵	۰/۰۰۰	۰/۰۰۱	۰/۰۰۰	۰/۰۱۹	۰/۰۰۰	۰/۰۰۲	۰/۰۰۰	۰/۰۰۰	۰/۰۰۰	۰/۰۰۰	۰/۰۰۰	۰/۰۰۰	۰/۰۰۰	۰/۰۰۰	۰/۰۰۰	۰/۰۱۱	۰/۰۰۰	۰/۰۰۰	۰/۰۰۳			
K	۰/۰۰۱	۰/۰۲۱	۰/۰۰۱	۰/۰۰۱	۰/۰۰۹	۰/۰۰۰	۰/۰۰۸	۰/۰۰۰	۰/۰۰۰	۰/۰۰۰	۰/۰۰۰	۰/۰۰۰	۰/۰۰۰	۰/۰۰۰	۰/۰۰۰	۰/۰۰۰	۰/۰۰۰	۰/۰۰۱	۰/۰۰۰	۰/۰۰۷			
Cr	۰/۰۰۱	۰/۰۰۰	۰/۰۰۰	۰/۰۰۰	۰/۰۰۱	۰/۰۰۰	۰/۰۰۱	۰/۰۰۳	۰/۰۰۳	۰/۰۰۰	۰/۰۰۰	۰/۰۰۱	۰/۰۰۱	۰/۰۰۰	۰/۰۰۰	۰/۰۰۰	۰/۰۰۰	۰/۰۰۱	۰/۰۰۰	۰/۰۰۲			
Totals	۷,۹۸۶	۸,۰۰۴	۸,۰۱۱	۸,۰۰۰	۸,۰۰۳	۷,۹۸۳	۷,۹۸۵	۷,۹۸۸	۷,۹۸۷	۷,۹۷۸	۷,۹۶۸	۷,۹۷۰	۸,۰۰۳	۷,۹۸۳	۷,۹۹۷	۸,۰۰۸	۸,۰۰۳	۸,۰۱۱	۷,۹۹۶	۸,۰۱۱	۷,۹۸۲		
Almandine	۰/۷۷۴	۰/۷۵۵	۰/۷۵۹	۰/۷۸۴	۰/۷۷۰	۰/۷۷۴	۰/۸۰۲	۰/۷۷۵	۰/۷۴۳	۰/۷۴۲	۰/۷۱۴	۰/۷۴۲	۰/۷۳۱	۰/۷۳۷	۰/۶۹۶	۰/۶۸۱	۰/۶۸۳	۰/۷۳۱	۰/۷۴۰	۰/۷۵۰	۰/۷۷۹		
Pyrope	۰/۱۱۱	۰/۱۴۴	۰/۱۳۸	۰/۱۳۸	۰/۱۳۶	۰/۱۴۲	۰/۱۳۱	۰/۱۰۶	۰/۱۲۱	۰/۱۰۳	۰/۱۱۲	۰/۱۱۰	۰/۱۲۸	۰/۱۱۴	۰/۰۸۷	۰/۰۸۹	۰/۰۸۲	۰/۱۰۲	۰/۱۱۶	۰/۱۰۰			
Spessartine	۰/۱۰۷	۰/۰۹۹	۰/۰۹۰	۰/۰۶۸	۰/۰۸۰	۰/۰۷۵	۰/۰۵۸	۰/۰۶۰	۰/۰۵۵	۰/۰۷۲	۰/۱۳۸	۰/۱۱۱	۰/۱۰۷	۰/۱۱۳	۰/۱۶۱	۰/۱۶۵	۰/۱۶۲	۰/۱۲۳	۰/۰۷۹	۰/۰۵۶	۰/۰۶۳		
sular	۰/۰۰۸	۰/۰۲۲	۰/۰۱۳	۰/۰۰۹	۰/۰۱۴	۰/۰۱۰	۰/۰۰۹	۰/۰۵۹	۰/۰۸۱	۰/۰۸۲	۰/۰۳۶	۰/۰۳۷	۰/۰۳۶	۰/۰۵۶	۰/۰۷۶	۰/۰۶۵	۰/۰۶۳	۰/۰۷۹	۰/۰۷۷	۰/۰۵۸			
Fe / (Fe + Mg)	۰/۸۷۴	۰/۸۵۹	۰/۸۴۶	۰/۸۵۰	۰/۸۵۰	۰/۸۴۵	۰/۸۶۰	۰/۸۷۹	۰/۸۶۰	۰/۸۷۸	۰/۸۶۴	۰/۸۷۱	۰/۸۵۱	۰/۸۶۳	۰/۸۹۰	۰/۸۹۷	۰/۸۸۴	۰/۸۹۹	۰/۸۷۹	۰/۸۶۶	۰/۸۸۶		
Mg / (Fe + Mg)	۰/۱۲۶	۰/۱۴۱	۰/۱۴۴	۰/۱۴۵	۰/۱۵۰	۰/۱۵۰	۰/۱۵۵	۰/۱۴۰	۰/۱۲۱	۰/۱۴۰	۰/۱۲۲	۰/۱۳۶	۰/۱۲۹	۰/۱۴۹	۰/۱۲۴	۰/۱۱۰	۰/۱۰۳	۰/۱۱۶	۰/۱۰۱	۰/۱۲۱	۰/۱۳۴	۰/۱۱۴	



شکل ۴ نمودار تقسیم‌بندی گارنت‌ها [۲۵]: الف-آلمندین، اسپسارتین، گراسولار، پیروپ و ب- اسپسارتین+آلمندین، گراسولار+اوورویت+آندرادیت، پیروپ.

بحث

منطقه‌بندی گارنت

منطقه‌بندی‌های مختلفی ممکن است در گارنت‌ها دیده شود، از جمله منطقه‌بندی فیزیکی یا آشکار (که در میکروسکوب قطبشی قابل مشاهده بوده و معمولاً با ناپیوستگی در رشد بلور همراه است)، منطقه‌بندی شیمیایی یا پنهان (که با میکروسکوب قطبشی قابل تشخیص نیست و توسط تصویربرداری دو بعدی توسط ریزپردازندۀ الکترونی مثل نگاشت پرتوی X قابل تشخیص است). منطقه‌بندی شیمیایی شاخص سنگ‌های دگرگونی است [۲۰-۲۸] و در دو دسته منطقه‌بندی عادی و معکوس قرار می‌گیرند. در منطقه‌بندی عادی، مرکز گارنت غنی از اسپسارتین و گراسولاریت است و به سمت لبه بلور بر مقدار پیروپ و آلماندین افزوده می‌شود [۳۱]. علت تمرکز Mn در مرکز گارنت را می‌توان به سازگاری فوق العاده زیاد آن نسبت داد که در نخستین مراحل تبلور، گارنت در ساختار آن و در مرکز متمرکز می‌شود. در نتیجه محیط از Mn تهی شده و با پیشرفت دگرگونی لبه بلور نسبت به مرکز آن از Mn فقیرتر می‌شود [۳۲]. منطقه‌بندی معکوس عکس این حالت بوده یعنی مرکز غنی از آلماندین و پیروپ است و به سمت لبه بر مقدار اسپسارتین و گراسولار افزوده می‌شود [۳۳-۳۱]. این منطقه‌بندی در سنگ‌های ماگمایی نیز دیده می‌شود.

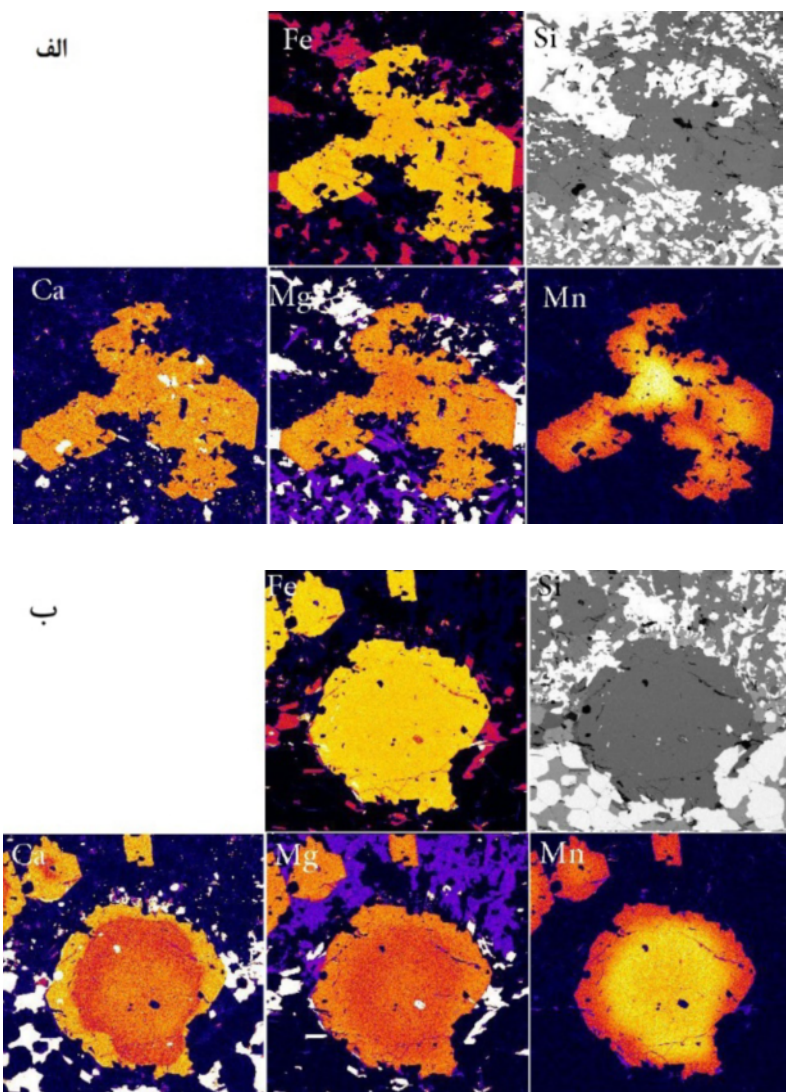
به طور کلی گارنت‌های با منطقه‌بندی معکوس یا با ترکیب یکنواخت و بدون منطقه‌بندی در درجات بالای دگرگونی دچار بازآرایی کاتیونی می‌شوند [۳۴]. زیرا افزایش دما موجب افزایش آهنگ انتشار، همگن‌شدن ساختار بلوری و حذف منطقه‌بندی کانی می‌گردد [۲۶]. لبه غنی از Mn و یا Fe در گارنت در بازدگرگونی پسروندۀ دیده می‌شود که نوعی تبادل دوباره در دماهای پایین دگرگونی مجدد است [۳۵]. گاه لبه بلور گارنت دستخوش دگرگونی پسروندۀ شده و در چند میکرون از لبه منطقه‌بندی معکوس ایجاد می‌شود [۳۲، ۳۴، ۳۶]. در این حالت در یک سمت بلور منطقه‌بندی عادی و در سمت دیگر منطقه‌بندی معکوس دیده می‌شود. ضخامت لبه‌ای که منطقه‌بندی معکوس نشان می‌دهد با کانی‌های مجاور گارنت در ارتباط است. اگر گارنت در مجاورت مستقیم کانی‌هایی چون بیوتیت و کلریت قرار گیرد، منطقه‌بندی معکوس در لبه از ضخامت بیشتری بر خوردار خواهد بود، در حالیکه لبه‌هایی که در مجاورت کوارتز یا فلدسپارها قرار می‌گیرند قادر منطقه‌بندی بوده یا لبه منطقه در آنها بسیار نازک است [۲۷].

منطقه‌بندی فیزیکی در گارنت‌های موجود در میگماتیت

های منطقه دیده نمی‌شود، اما منطقه‌بندی شیمیایی معکوس در آنها وجود دارد.

نگاشتهای پرتوی X از گارنت‌های تیره-روشن در شکل ۵ نشان داده شده است. در شکل ۵ الف گارنت‌های بی‌شکل چندهسته‌ای نوعی بی‌نظمی در افزایش و کاهش عناصر از لبه به مرکز و سپس لبه را نشان می‌دهند، به طوری که تغییرات آنها از یک لبه بلور تا مرکز و لبه بعدی چندین بار تغییر می‌کند. این وضعیت در تصویر بررسی منگنز کاملاً نمایان است. شکل ۵ ب مربوط به گارنت‌های تقریباً تمام شکل‌دار تیره-روشن است که دارای منطقه‌بندی معکوس ناپیوسته است و یک مرحله ناپیوستگی در رشد در آن دیده می‌شود. بنابراین در گارنت‌های موجود در میگماتیت‌های همدان منطقه‌بندی ناپیوسته‌ای وجود دارد که مقدار عناصر در آن طی رشد در یک رخداد دگرگونی روند افزایش و کاهش دارد. سپس گارنت‌های جدید با یک مرحله ناپیوستگی در رشد، باز در اثر رخداد دگرگونی بعدی، بر مراکز پیشین رشد نموده‌اند. به طوری که مرکز پیشین به عنوان نطفه اولیه و تکیه گاه عمل نموده و موجب ایجاد منطقه‌بندی ناپیوسته شده است. اما با توجه به پیچیدگی رخدادهای دگرگونی، تفکیک و نسبت دادن آنها به یک دگرگونی ناحیه‌ای و سپس دگرگونی مجاورتی به سادگی امکان‌پذیر نیست، چرا که رخداد دو دگرگونی ناحیه‌ای نیز در منطقه بعيد به نظر نمی‌رسد. اما با توجه به نتایج به دست آمده از تجزیه شیمیایی و وجود منطقه‌بندی در این گارنت‌ها تغییر واکنش گارنت ساز بسیار محتمل است.

منطقه‌بندی ترکیبی احتمالاً با واکنش‌هایی که طی رشد این بلور رخ داده‌اند، کنترل می‌شود. عواملی چون تغییرات فشار، دما، CO₂ و فعالیت تراکم Al و Fe و عوامل پویای واکنش در آن دخیل هستند. معمولاً X Mg همراه با افزایش دمای دگرگونی افزایش می‌یابد. این وضعیت یک منطقه‌بندی پیشرونده (افزایش دما) را طی رشد گارنت نشان می‌دهد که با مرکز غنی از Fe و لبه غنی از Mg مشخص می‌شود. یعنی با افزایش دما X Fe/X Mg از مرکز به لبه کاهش یافته است. همچنین X Mn یک نیمرخ زنگله‌ای شکل (برای لبه، مرکز، لبه) نشان می‌دهد که بیانگر رشد گارنت در شرایط دگرگونی پیشرونده است. بنابراین در دگرگونی پیشرونده مقدار عضو نهایی پیروپ و آلماندین افزایش و مقدار گراسولار کاهش می‌یابد. اما در دماهای بیش از ۷۰۰ درجه سانتی‌گراد، منطقه‌بندی رشدی گارنت تا حدی یا بطور کامل همگن می‌شود [۳۷].



شکل ۵ نگاشتهای پرتوی تیره-روشن X از گارنت‌های بی شکل چنددهسته‌ای که بی نظمی در رفتار افزایش و کاهش عناصر از لبه به مرکز و سپس لبه در تصویر بررسی منگنز کاملاً نمایان است. ب) گارنت‌های تمام شکل دار که منطقه‌بندی معکوس ناپیوسته با یک مرحله ناپیوستگی در رشد را نشان می‌دهند. هر چه مقدار یک عنصر بیشتر باشد رنگ آن در تصویر کمرنگ‌تر است.

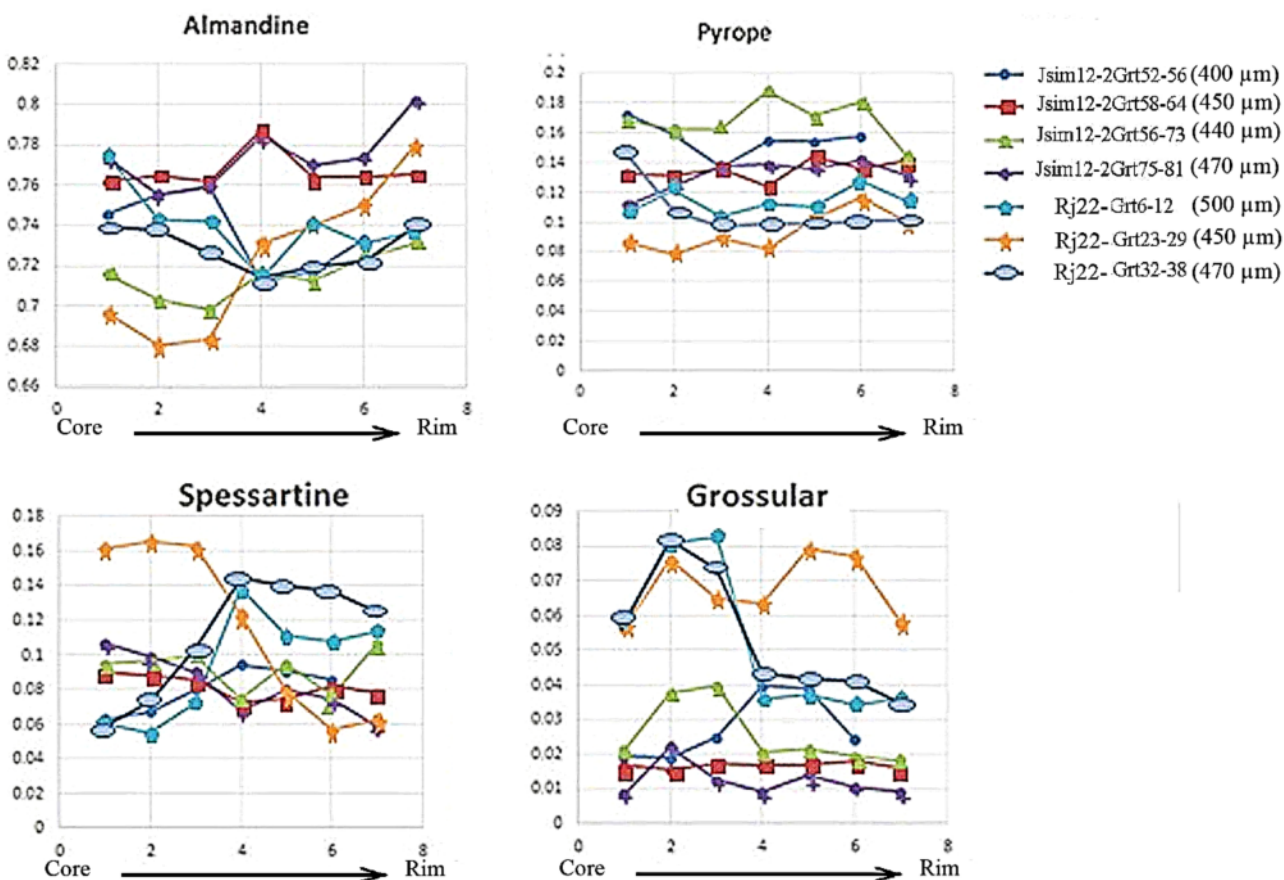
زمان تشکیل آنها ممکن است متفاوت باشد، احتمالاً همه گارنت‌ها از فرایند ذوب متاثر نشده‌اند و برخی از آنها در ذوب-بخشی شرکت نموده و برخی دیگر شرکت نکرده‌اند. این مساله می‌تواند به دلیل رفتار ناسازگار Mn طی ذوب‌بخشی صورت گرفته در نمونه‌های مختلف با یکدیگر متفاوت باشد (چرا که Mn تمایل دارد طی ذوب‌بخشی در فاز جامد متتمرکز شود). لذا الگوی رفتاری عناصر مختلف در آنها با هم متفاوت است، روند یکسانی ندارند و بی‌نظمی نشان می‌دهند. بی‌نظمی‌های بیان شده، ممکن است ناشی از سه عامل مختلف باشد: عامل اول گارنت‌های تکبلور چند هسته‌ای است.

تصویر الگوی رفتاری عناصر Mg, Fe, Mn و Ca در نمونه‌های مختلف تیره-روشن میگماتیت‌های منطقه برای اعضای آلماندین، پیروپ، گراسولار و اسپسارتین در شکل ۶ نشان داده شده است. چنان که دیده می‌شود مقدار عضو آلماندین از مرکز به لبه بطور کلی افزایش می‌یابد. مقدار عضو پیروپ با تغییرات جزئی هماهنگ است و به طور کلی از مرکز به لبه به مقدار اندکی کاهش می‌یابد. در مورد عضو اسپسارتین در نمونه‌های مورد بررسی نظم خاصی وجود ندارد و برخی نمونه‌ها روند افزایش و برخی دیگر کاهش نشان می‌دهند (شکل ۶). با توجه به اینکه گارنت‌ها در قسمت‌های مختلف تیره-روشن متتمرکز بوده‌اند و

انباست روشن که پیشتر بخش تمرکز مذاب ناشی از ذوب-بخشی بوده است تفاوت داشته‌اند و میزان مشارکت آنها در فرایند ذوب‌بخشی متفاوت است (گارنت‌هایی که به بخش روشن نزدیکترند یا در تماس مستقیم با آن هستند، نسبت به گارنت‌هایی که در فاصله بیشتری از آن قرار گرفته‌اند، طی رخداد ذوب‌بخشی از این فرایند بیشتر متاثر شده‌اند). در بلورهایی که در فرایند ذوب شرکت کرده‌اند، عناصری که سازگاری کمتری با گارنت دارند شروع به خروج از ساختار بلوری کانی کرده و مقدار آنها در کانی کاهش یافته است و این امر موجب اختلاف و بی‌نظمی در روند افزایش و کاهش عناصر در منطقه‌بندی شده است. از طرفی، این احتمال وجود دارد که فرایند ذوب‌بخشی طی چند مرحله رخ داده باشد. در این صورت تعدد فرایندهای ذوب‌بخشی در میزان مشارکت این کانی بی‌تأثیر نیست.

گارنت‌های موجود در بخش تیره-روشن میگماتیت‌های منطقه گاه در اثر رشد مراکز بهم چسبیده و ظاهر یک دانه یکه را نشان می‌دهند، به طوری که در نمونه ماکروسکوپی و میکروسکوپی به صورت تکبلور دیده می‌شوند اما در نگاشت-های پرتوی X چندین هسته به هم پیوسته در آنها دیده می‌شود. در تجزیه شیمیایی که از مرکز به لبه این بلورها انجام می‌شود، منطقه‌بندی دارای بهره‌یختگی است و نوعی بی‌نظمی و ناهمخوانی در منطقه‌بندی دانه‌ها دیده می‌شود. نگاشت‌های پرتوی X تهیه شده از این بلورها نیز این موضوع را تایید می‌کنند (شکل ۵ الف).

عامل دوم نقش متفاوت بلورهای گارنت طی رخداد ذوب-بخشی است، به طوری که برخی از بلورهای گارنت در فرایند ذوب شرکت کرده و برخی دیگر در این فرایند شرکت نکرده‌اند [۱۳]. به علاوه میزان مشارکت آنها در ذوب‌بخشی نیز متفاوت بوده است. افرون بر این، فاصله کانی‌های گارنت تا بخش



شکل ۶ الگوی رفتاری اعضای آلماندین، پیروپ، اسپسارتین و گراسولار در گارنت‌های موجود در میگماتیت‌های منطقه که از مرکز به لبه بررسی شده است.

از مرکز به لبه را نشان می‌دهد. در عضو گراسولار نیز تغییرات با بی‌نظمی همراه است.

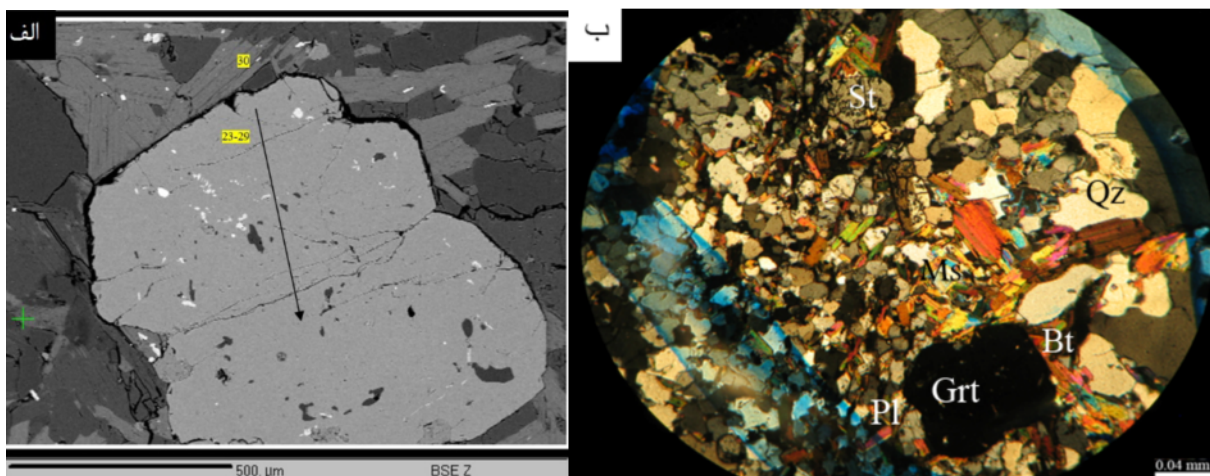
توزیع Fe-Mg در گارنت و بیوتیت همزیست به دمای تعادل بستگی دارد که برایه واکنش زیر صورت می‌گیرد [۳۹]

$$(1) \text{ گارنت غنی از } \text{Mg} = \text{گارنت غنی از } \text{Fe} + \text{بیوتیت غنی از } \text{Mg}$$

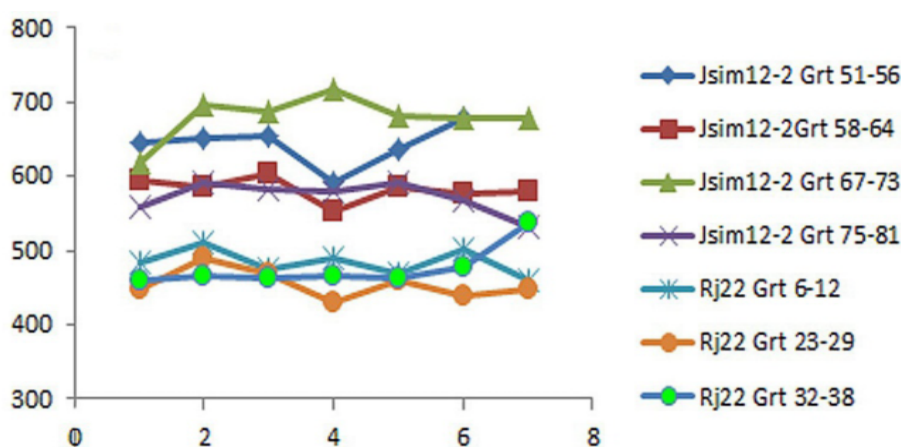
+ بیوتیت غنی از Fe, برخی معتقدند [۳۹] که استفاده از Mg + بیوتیت غنی از Fe می‌تواند در برآورده شرایط مقدار برخی از عناظر مانند Y و P می‌تواند در برآورده شرایط اوج دگرگونی در فرایند ذوببخشی موثر باشد [۴۰]. در واقع در شرایط ذوببخشی، علاوه بر تبادلات کاتیونی با کاتیونی همسایه، ترکیب محتوای برخی از عناظر در گارنت نیز تغییر خواهد کرد. تغییرات دمایی گارنت‌ها بر اساس دما‌سنج گارنت-بیوتیت (با فرض ثابت بودن ترکیب بیوتیت) برای میگماتیت‌های منطقه در شکل ۸ نشان داده است. نمونه‌های Jsim12-2-Grt67-73, Jsim12-2-Grt51-56, Rj22-Grt32-38, Rj22-Grt23-29 درجه سانتی‌گراد را نشان می‌دهند و نمونه‌های ۱۰۰ Jsim12-2-Grt6-12, Rj22-Grt23-29 دارای دمای تقریباً ۷۵-۸۱ بدیهی است که نمونه‌هایی که افزایش دما از مرکز به لبه را نشان می‌دهند طی دگرگونی پیشرونده تشکیل شده‌اند (شکل ۸)، در صورتیکه کاهش دما از مرکز به لبه ممکن است بیانگر تشکیل این کانی در شرایط دگرگونی پسروند باشد.

عامل سوم نقش کانی‌های مجاور در ایجاد تعادل در گارنت است که ناهمگنی (سنگ‌شناسی و شیمیایی) شدید موجود در بخش‌های مختلف میگماتیت‌ها اهمیت آن را بیشتر می‌کند، به طوریکه در ترکیب لبه بلورها تعادل در ترکیب شیمیایی توسط تبادل کاتیونی در هنگام دگرگونی با کانی مجاور برقرار می‌شود. گارنت‌های موجود در بخش تیره-روشن میگماتیت‌های منطقه گاه در نزدیکی بیوتیت، استارولیت یا کردیریت (تیره-روشن) و گاه در مجاورت کوارتز، ارتوکلاز و پلاژیوکلاز (روشن) قرار گرفته‌اند. طبیعتاً مقدار Fe و Mg لبه گارنت در مجاورت بیوتیت، استارولیت و کردیریت و مقدار Ca لبه گارنت در مجاورت پلاژیوکلاز متاثر خواهد شد. البته با توجه به سرعت پایین انتشار Ca این تأثیر بسیار ناچیز است [۳۸]. این امر نیز می‌تواند موجب بی‌نظمی و اختلاف در روند افزایش و کاهش عناصر در منطقه‌بندی گارنت‌های مختلف شود.

چنان‌که در شکل ۶ دیده می‌شود، الگوی رفتاری نمونه Rj22-Grt 23-29 برای اعضای آلماندین، پیروب، اسپسارتین و گراسولار بسیار متفاوت از سایر نمونه‌های است. این نمونه مربوط به استارولیت گارنت میگماتیت است که دانه گارنت بررسی شده آن در نزدیکی بخش‌های روشن و تیره-روشن بوده و نیمی از گارنت با بخش روشن و نیم دیگر آن با بخش تیره-روشن دارای مرز مشترک است (شکل ۷). در عضو آلماندین، تغییرات از مرکز به لبه آن بسیار شدید است، عضو پیروب الگوی رفتاری مشابه سایر نمونه‌ها دارد اما عضو اسپسارتین کاهش شدید Mn



شکل ۷ (الف) تصویر SEM از گارنت نمونه Rj22-Grt 23-29 که قسمت بالای آن در تماس با بیوتیت و قسمت پایینی آن در تماس با کوارتز و فلدسپات (پلاژیوکلاز) است. (ب) تصویر میکروسکوپی از گارنت نمونه Rj22-Grt 23-29 که قسمت پایینی آن در تماس با کوارتز و فلدسپات (پلاژیوکلاز) است.



شکل ۸ تغییرات دمایی گارنت‌ها از مرکز به لبه در گارنت‌های منطقه نمونه ۱۲- jsim مربوط به فیبرولیت گارنت کردیریت میگماتیت و نمونه Rj22 مربوط به استارولیت گارنت میگماتیت است.

۵۰ درجه سانتی‌گراد روبرو شده‌اند. نمونه‌های نامبرده از یک سمت با کردیریت و از سمت دیگر با بیوتیت در تماس بوده‌اند و بررسی هر دوی آنها در مسیری در سمت مجاور بیوتیت انجام شده است.

گارنت‌های نمونه استارولیت گارنت میگماتیت رشد تقریباً یکسانی را با اختلاف دمایی حدود ۴۰ درجه سانتی‌گراد دارند که نشان دهنده رشد آن در دماهای پایین‌تری نسبت به نمونه فیبرولیت گارنت کردیریت میگماتیت است. دانه‌های موجود در این نمونه همه در دمای ۴۵۰ درجه سانتی‌گراد هسته‌بندی کرده‌اند. البته نوسانات دمایی نمونه Rj22-Grt23-29 مربوط به بخش روشن این سنگ اندکی متفاوت از نمونه‌های بخش تیره-روشن آن است و با توجه به اینکه بخش قابل توجهی از محیط اطراف این کانی توسط کوارتز و پلازیوکلاز احاطه شده است، تبادلات کاتیونی آن چندان زیاد نبوده است.

نمونه Rj22-Grt23-29 که مربوط به بخش روشن استارولیت گارنت میگماتیت است دارای منطقه‌بندی عادی است (مرکز از اسپسارتین و گراسولاریت غنی است) و سایر نمونه‌ها دارای منطقه‌بندی معکوس (مرکز از اسپسارتین و گراسولاریت فقیر است) هستند.

باوجود اینکه بخش روشن میگماتیتها نسبت به محل تشکیل خود تحرک و مهاجرت داشته است [۲۴]، اما با توجه

رشد گارنت و تغییر مکان کلی سنگ‌ها

بررسی منطقه‌بندی گارنت‌ها می‌تواند تا حدی اطلاعاتی را در مورد مراحل رشد آنها و نیز تغییرات کلی عمق جایگیری سنگ‌ها در پی داشته باشد. نمونه‌های گارنت Jsim12-2-Grt51-56، Jsim12-2-Grt58-64، Jsim12-2-Grt67-73، Jsim12-2-Grt75-81 و مربوط به بخش تیره-روشن فیبرولیت گارنت کردیریت میگماتیت و نمونه Rj22-Grt 6-12، Rj22-Grt 32-38 و Mroboط به بخش تیره-روشن استارولیت گارنت میگماتیت و نمونه Rj22-Grt 23-29 مربوط به بخش روشن استارولیت گارنت میگماتیت است.

با توجه به نمودار تغییرات دمایی (شکل ۸)، همه گارنت‌ها در نمونه فیبرولیت گارنت کردیریت میگماتیت، در گستره دمایی ۶۵۰-۵۵۰ درجه سانتی‌گراد هسته‌بندی نموده‌اند. سپس نمونه Jsim12-2-Grt 67-73 با افزایش دمایی حدود ۱۰۰ درجه با نوسان دمایی ناچیز به رشد خود ادامه داده است. این دانه گارنت به صورت میانبار در کردیریت قرار گرفته و از همه جهات در حال تبادل کاتیونی با آن بوده است. نمونه Jsim12-2-Grt75-81 نیز با اختلاف دمایی حدود ۱۰۰ درجه سانتی‌گراد روند مشابه با نمونه Jsim12-2-Grt67-73 داشته است، اما به طور کامل با بیوتیت احاطه شده است. نمونه‌های Jsim12-2-Grt51-56، Jsim12-2-Grt58-64 با اختلاف دمایی حدود ۵۰ درجه با روند یکسان به رشد خود ادامه داده‌اند. این دو نمونه در اواسط رشد خود با کاهش دمایی حدود

اند. همچنین تشکیل گارنت در شرایط پری تکتیک و طی ذوب‌بخشی به دماهای ۷۵۰-۸۰۰ درجه سانتی‌گراد نیاز دارد، در حالیکه دمای تشکیل میگماتیت‌های همدان حدود ۶۸۰ درجه سانتی‌گراد است [۴۱] و اگر دما ۶۵۰ تا ۷۵۰ درجه سانتی‌گراد باشد، گارنت در فاز زیرخط انجامد متبلور می‌شود [۴۳]. داده‌های دما فشارسنجی منطقه نیز تشکیل گارنت در شرایط زیر خط انجامد را تایید می‌کند.

برداشت

۱- نتایج تجزیه ریزپردازشی نگاشته‌های پرتوی X نشان می‌دهند که بلورهای گارنت موجود در میگماتیت‌های همدان دارای منطقه‌بندی ترکیبی پیوسته و ناپیوسته با یک مرحله ناپیوستگی در رشد هستند و دست کم ۲ مرحله رشد را نشان می‌دهند.

۲- بی‌نظمی‌های موجود در روند افزایش و کاهش عناصر در منطقه‌بندی گارنت‌ها ممکن است ناشی از عواملی چون وجود گارنت‌های تکبلور چندهسته‌ای، نقش متفاوت بلورهای گارنت طی رخداد ذوب‌بخشی و نیز نزدیکی به کانی‌های مختلفی باشد که در تبادل کاتیونی لبه کانی نقش داشته‌اند.

۳- نتایج دما-فشارسنجی گارنت بیوپتیت برای برخی از گارنت‌های منطقه نشان‌دهنده افزایش دمایی در حد ۱۰۰ درجه سانتی‌گراد از مرکز به لبه است که با دگرگونی پیشرونده منطقه که اوج دگرگونی منطقه بوده (دمای حدود ۶۸۰ درجه سانتی‌گراد و فشار ۳/۶ کیلوبار) [۴۱، ۱۳] و منجر به رخداد ذوب‌بخشی شده است، همخوانی دارد. برخی دیگر از گارنت‌ها نیز دارای دمای تقریباً ثابتی بوده‌اند.

۴- گارنت‌های موجود در بخش روش روشن میگماتیت‌ها دارای دو خاستگاه مختلف هستند به طوری که برخی از باقیمانده‌های بخش تیره-روشن هستند و برخی در شرایط زیر خط انجامد همراه با مذاب ناشی از ذوب‌بخشی تشکیل شده‌اند.

مراجع

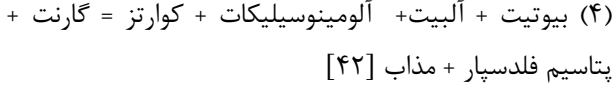
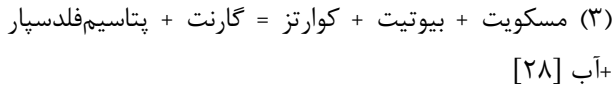
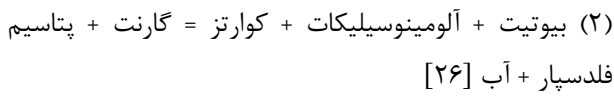
- [1] Blackburn W.H., "Zoned and unzoned garnets from the Grenville Gneisses around Gananorue Ontario", Canadian Mineralogist 9 (5) (1969) 691-698.

به اینکه نتایج دما- فشارسنجی میگماتیت‌ها [۴۱] تغییرات فشاری چندان قابل توجه نبوده است، احتمالاً تغییر مکان کلی سنگ‌ها نیز ناچیز بوده و نقش چندانی در تبلور کانی‌ها از جمله گارنت‌ها نداشته است؛ یعنی تغییرات دما نسبت به عمق (فشار) در تبلور کانی‌ها موثرتر بوده است.

تشکیل گارنت در رگه‌های روشن

برخی از پژوهشگران (برای مثال، [۳۶]) بر این باورند که تشکیل گارنت در اثر ذوب‌بخشی نیازمند دماهای بسیار بالاست تا فازهای کانیایی پیشین حل شوند و مقادیر کافی از Fe و Mg در اختیار مذاب قرار گیرد تا بتواند گارنت را متبلور کند، اما به نظر می‌رسد که واکنش‌های انتشاری با سنگ میزبان در دماهای بالا نقش مهمی داشته باشند [۳۸]. شکست کانی‌هایی چون بیوپتیت می‌تواند علاوه بر تامین H_2O مورد نیاز ذوب‌بخشی، محتوای بسیار غنی از Fe و Mg را نیز بوجود آورد که در مذاب حل شده و سپس در بخش روشن متبلور شود.

گارنت‌ها در بخش روشن نوع فلدسپات قلیایی (ارتوكلاز) گرانیتی میگماتیت‌های منطقه می‌توانند برپایه واکنش‌های زیر تشکیل شده باشند:



به طور کلی گارنت‌های موجود در بخش روشن ممکن است از دو خاستگاه متفاوت باشند: نخست گارنت‌های باقیمانده از بخش تیره-روشن و دوم گارنت‌های جدیدی که از مذاب متبلور شده‌اند. گفتنی است که گارنت‌های جدید موجود در بخش‌های روشن میگماتیت‌های منطقه از مذاب (نه با مذاب) تشکیل شده‌اند. در صورتی که گارنت با مذاب تشکیل شود، طی واکنش پری تکتیک قطراتی از مذاب همراه گارنت، در هنگام تبلور درون آن به دام می‌افتد که چنین شواهدی در گارنت‌های منطقه وجود ندارد. بنابراین گارنت‌های موجود در بخش روشن میگماتیت‌های منطقه در شرایط زیر خط انجامد متبلور شده-

- [10] Fotoohi Rad Gh. R., Amini S., *Geothermobarometry of eclogite facies rocks in ophiolite complex of Sulabest in SE Birjand, eastern Iran*" Journal of science university of Tehran 1 (2005) 117- 154.
- [11] Sepahi A., *Petrology of the Alvand plutonic complex with special reference on granitoids. Ph. D. Thesis (in Persian)"*, Tarbiat-Moallem University, Tehran, Iran (1999).
- [12] Sepahi A. A., Whitney D. L., Baharifar A. A., *Petrogenesis of andalusite - kyanite - sillimanite Veins and host rocks, sanandaj – sirjan metamorphic belt, Hamadan, Iran*", Journal of metamorphic. Geology 22 (2004) 119-134.
- [13] Baharifar A. A. "Petrology of metamorphic rocks in the Hamedan area, Ph. D. Thesis (in Persian)" Tarbiat Moallem University of Tehran, Iran (2004).
- [14] Hosseinimirzaei Z, Sepahi A. A., Aliani F., Hosseinimirzaei Z., "Investigation of metamorphic Zonation and isogrades of Garnet rocks in Hamadaan area" 1st international congress of applied geology, Mashhad Azad University (2010)
- [15] Ahmadi Khalaji A., Tahmasbi Z., *Mineral chemistry of garnet in pegmatite and metamorphic rocks in the Hamedan area*" Journal of Economic Geology 7 (2) (2015) 243-258.
- [16] Saki A., Moazzen M., Baharifar A. A., *Migmatite microstructures and partial melting of Hamadan metapelitic rocks, Alvand contact aureole, western Iran*" International geology review 54 (2011) 1229-1240.
- [17] Saki A., "Formation of spinel-cordierite-plagioclase symplectites replacing andalusite in metapelitic migmatites of the Alvand aureole, Iran", Geological Magazine 148 (2011) 423–434.
- [18] Alavi M., *Regional stratigraphy of the Zagros fold-thrust-belt of Iran and its proforeland evolution*", American Journal of Science 304 (2004) 1-20.
- [2] Grant J.A., Weiblen P.W., "Retrograde zoning in garnet near the end sillimanite isograds", Ameriacan Journal of Science, 270 (4) (1971) 281-296.
- [3] Hwang S.L., Yui T.F., Chu H.T., Shen P., "Submicron polyphase inclusions in garnet from the Tananao metamorphic complex, Taiwan, a key to unravelling otherwise unrecognized metamorphic events", Journal of Metamprphic Geology, 19 (5) (2001) 601-607.
- [4] Plank T., "Magmatic garnets from the Cardigan pluton and the Acadian thermal event in southwest New Hampshire", American Mineralogist, 72(7-8) (1987) 681-688.
- [5] Moazzen M., Torabi-Asl S., Omrani H., Study of pressure and temperature of metamorphism, phase stability and garnet and biotite chemical zoning in the Jandaq metamorphic rocks using pseudosection method" Iranian Journal of Crystallography and Mineralogy 23, (2015) 651-660.
- [6] Fraokhi M., Homam S. M., Saadat S., *Genesis of garnets in the granitoid intrusion of Dehnow, NW Mashhad*" Iranian Journal of Crystallography and Mineralogy 23 (2) (2015) 479-494.
- [7] Balaghi-Inaloo M., Sadeghian M., Ghasemi H., "Mineralogy, geochemistry and thermobarometry of garnet-amphibolites in Delbar metamorphic complex, Biarjmand (Southeast of Shahrood)" Iranian Journal of Crystallography and Mineralogy 23 (3) (2015) 479-494.
- [8] Dehkordi A. D., Khalili M., Noorbehشت I., Mohajjal M., *The compositional zoning of garnet in eclogites from North of Shahrekord, Sanandaj – Sirjan Zone, Iran*', Iranian Journal of Crystallography and Mineralogy 13 (2) (2005) 271-286.
- [9] Fotoohi Rad Gh. R., "Zoning and chemistry of garnets of eclogites and blue schists in ophiolite complex of eastern Birjand: evidence subduction in eastern Iran," 24th Symposium of Geosciences (2005).

- [28] Hyndman D. W., "Petrology of Igneous and Metamorphic Rocks", 2nd Edition, McGraw-Hill: New York (1985).
- [29] Barker A.J., "Introduction to metamorphic textures and microstructures", Stanley Thorne Ltd., Cheltenham (1998).
- [30] Kretz R., "Metamorphic crystallization", John Wiley and Sons, 507 (1994).
- [31] Hensen D.J., Green D.H., "Experimental study of the stability of cordierite and garnet in pelitic compositions at high pressures and temperatures", Contributions to Mineralogy and Petrology 38 (1973) 151-166.
- [32] Vance D., Holland T., "A detailed isotopic and petrological study of single garnet from the Gaston schist, Vermont" Contribution to Mineralogy and Petrology 114 (1) (1993) 101-118.
- [33] Deer W. A., Howie R. A., Zussman J., Rock forming minerals, Orthosilicates, Longman, (1982) 919.
- [34] Yardly B.W.D., An introduction to Metamorphic Petrology, Longman (1991) 248p.
- [35] Hess P.C., The metamorphic paragenesis of cordierite in pelitic rocks, Contributions to Mineralogy and Petrology 24 (1969) 191-207.
- [36] Nakano N., Osanai Y., Adachi T., "Major and trace element zoning of euhedral garnet in high-grade (>900 °C) mafic granulite from the Song Ma Suture zone, northern Vietnam" Journal of Mineralogical and Petrological Sciences 105 (2010) 268-273.
- [37] Carlson W. D., Schwarze E. T., Petrologic significance of prograde homogenization of growth zoning in garnet: An example from the Llano Uplift" Journal of Metamorphic Geology 15 (1997) 631-644.
- [38] Spear F. S., Daniel C. G., "Diffusion control of garnet growth, Harpswell Neck, Maine, USA" Journal of metamorphic Geology 19 (2001) 179-195.
- [19] Shahbazi H., Siebel W., Pourmoafee M., Ghorbani M., Sepahi A., Shang C., Abedini M.V., "Geochemistry and U-Pb zircon geochronology of the Alvand plutonic complex in Sanandaj-Sirjan Zone (Iran): New evidence for Jurassic magmatism", Journal of Asian Earth Sciences 39 (2010) 668-683.
- [20] Mahmoudi S., Corfu F., Masoudi F., Mehrabi B., Mohajjal M., "U-Pb dating and emplacement history of granitoid plutons in the northern Sanandaj-Sirjan Zone, Iran", Journal of Asian Earth Sciences 41 (2011) 238-249.
- [21] Chiu H-Y., Chung S-L., Zarrinkoub M. H., Mohammadi SS., Khatib MM., Iizuka Y., "Zircon U-Pb age constraints from Iran on the magmatic evolution related to Neotethyan subduction and Zagros orogeny", Lithos 162 (2013) 70-87.
- [22] Sepahi A., Jafari S. R., Mani-Kashani S., "The study of chemical composition and evolution of minerals during various metamorphic events in the Hamadan" Iranian Journal of Crystallography and Mineralogy 14 (2) (2006) 431-454
- [23] Jafari S. R., "Petrology of Migmatites and Plutonic Rocks of South Simin Area, Hamadan. MSc thesis", Bu Ali Sina University, Hamedan, Iran (in Persian) (2007).
- [24] Sawyer E. W., Working with migmatites, Mineralogical Association of Canada Short Course 38, Quebec City, Quebec (2008) 1-168.
- [25] Coleman R. G., Lee D. E., Beatty L. B., Brannock W. W., "Eclogites and eclogites: their differences and similarities", Geological Society America Bulletin 76 (5) (1965) 483-508.
- [26] Tracy R.J., Compositional zoning and inclusions in metamorphic mineral, Reviews in Mineralogy and Geochemistry, 10 (1) (1982) 355-397.
- [27] Williams M. L., Grambling I. A., "Manganese, ferric iron, and the equilibrium between garnet and biotite", American Mineralogist, 7-8 (1990) 886-908.

- [43] Bartoli O., Cesare B., Poli S., Acosta-Vighil A., Esposito R., Turina A., Bodnar R.J., Angel R.J., Hunter J., *Nanogranite inclusions in migmatitic garnet: behavior during piston-cylinder remelting experiments*, *Geofluids*, 13 (2013) 405-420.
- [44] Whitney D.L., Evans B.V., *Abbreviations for names of rock-forming minerals*, *American Mineralogist*, 95(1) (2010) 185–187.
- [45] Eghlimi B., *Hamedan Geological Map and Reporting* Geological Survey of Iran Series 100,000,5759, Tehran (2000).
- [39] Kretz R., "Chemical study of garnet, biotite and hornblende from gneisses of southwestern Quebec, with emphasis on the distribution of elements in coexisting minerals" *Journal of Geology* 67 (1959) 371-402.
- [40] Spear F. S., Kohn M. J., "Trace element zoning in garnet as a monitor of crustal melting" *Geology* 24 (1996) 1099-1102.
- [41] Sepahi A. A., Jafari S. R., Moazzen M., Shahbazi H., "Study of mineral chemistry, thermobarometry and petrogenesis of Migmatitic rocks of Hamedan area", *Petrology* (Under print).
- [42] Norlander B. H., Whitney D. L., Teyssier C., Vanderhaeghe O., *Partial melting and decompression of the Thor-Odin Dome, Shuswap metamorphic core complex, Canadian Cordillera*, *Lithos* 61 (2002) 103–125.